



Print ISSN: 2251-7480
Online ISSN: 2251-7400

Journal of
Water and Soil
Resources Conservation
(WSRCJ)

Web site:
<https://wsrcj.srbiau.ac.ir>

Email:
iauwsrjcj@srbiau.ac.ir
iauwsrjcj@gmail.com

Vol. 13
No. 2 (50)

Received:
2023-06-03

Accepted:
2023-07-18

Pages: 95-108



Role of Biological Measures in Soil Erosion Processes using InVEST Model in the Sharghong Watershed, South Khorasan, Iran

Reza Chamani¹, Sahar Mostafaei Younjali² and Seyed Hamid Reza Sadeghi^{3*}

1) Former Ph.D., Ph.D. Student, Department of Watershed Engineering, Faculty of Natural Resources, Tarbiat Modares University, Noor, Iran.

2) M.Sc. Student, Department of Watershed Engineering, Faculty of Natural Resources, Tarbiat Modares University, Noor, Iran.

3) Professor (Corresponding author), Department of Watershed Engineering, Faculty of Natural Resources, Tarbiat Modares University, Noor, Iran.

*Corresponding author email: sadeghi@modares.ac.ir

Abstract:

Introduction and Aim: Ecosystems nowadays play a unique role in meeting human demands and offering a variety of services to their stakeholders. However, occurrence of various happening, including population increase and rising demand for basic human requirements, have created problems for Ecosystem Services (ES). As a result, land degradation is a significant environmental issue that is impacted by a variety of elements and factors. Soil conservation and erosion prevention can benefit from management and conservation measures, as well as the development of plant cover in a watershed. Therefore, an effort has been made in this study to assess how the Sharghong Watershed in Southern Khorasan, Iran, and its biological and management activities affect soil erosion at various rainfall intensities.

Method: The Sharghong Watershed, with an area of 94.87 km^2 , is located in Birjand Township, South Khorasan Province, Iran. The mean annual precipitation in the watershed is approximately 210 mm . Due to its steep slopes in the eastern and southeastern parts, the presence of residential areas and barberry orchards in the floodplain, and intense precipitation in the spring, the Sharghong Watershed has a good potential for flooding. For evaluating the role of biological restoration operations in soil erosion processes in study watershed InVEST Model was used. Annual precipitation data from the Qaen, Birjand, Mousavieh, and Mansourabad stations were utilized for the period between 2002 and 2020, with return periods of 2, 5, 10, and 50 years, to generate the inputs for the InVEST model. The erosivity, erodibility, crop management and land maintenance factor were then determined.

Results: The maximum rainfall erosivity index (R) values for return periods of 2, 5, 10, and 50 years were 47.08, 63.68, 85.01, and $98.94 \text{ MJ mm ha}^{-1}\text{h}^{-1}$, respectively. The minimum values of R for the same return periods were 42.88, 56.68, 74.47, and $85.85 \text{ MJ mm ha}^{-1}\text{h}^{-1}$, respectively. The annual sediment yield for return periods of 2, 5, 10, and 50 years were 6699.27, 9024.56, 17452.27, and 20862.30 t, respectively. Following the implementation of the management scenario in different sub-watersheds, sediment yield reached 6439.39, 8668.37, 16892.94, and 17390.87 t, respectively. The obtained results indicated reductions of 3.9, 3.9, 3.2, and 1.7%, respectively, for return periods of 2, 5, 10, and 50 years.

Conclusion: In this research, the role of biological management in controlling erosion and sedimentation in the Sharghong Watershed during the different return periods of rainfall has been evaluated. The results of the research indicate that with the increase in the intensity of rainfall, in the current land use, the amount of erosion and sedimentation has increased, but with the application of management scenarios at the level of different sub-catchment, erosion and sedimentation has slightly decreased during the different return periods of rainfall. Due to the fact that the intensity of rainfall in the region plays an important role in creating erosion and its effect is intensified by the combination of sloping lands, the principled use of land in accordance with its potential can play an effective role in preventing land degradation. Therefore, the approaches of this research can be beneficial for providing a suitable management model for managers, operators and beneficiaries of watersheds.

Keywords: Ecosystem Services, Integrated Watershed Management, Simulation for Watershed Management, Land Degradation



10.30495/WSRCJ.2023.73563.11380

نقش اقدامات زیستی بر فرآیند فرسایش خاک با استفاده از مدل InVEST در حوزه آبخیز شارقچ، خراسان جنوبی

رضا چمنی^۱، سحر مصطفایی یونجالی^۲ و سید حمیدرضا صادقی^{۳*}

- (۱) دانش آموخته دکتری، گروه مهندسی آبخیزداری، دانشکده منابع طبیعی، دانشگاه تربیت مدرس، نور.
 (۲) دانشجوی کارشناسی ارشد، گروه مهندسی آبخیزداری، دانشکده منابع طبیعی، دانشگاه تربیت مدرس، نور.
 (۳) استاد، گروه مهندسی آبخیزداری، دانشکده منابع طبیعی، دانشگاه تربیت مدرس، نور.

* ایمیل نویسنده مسئول: sadeghi@modares.ac.ir



شایعه: ۲۲۵۱-۷۴۸۰
 شایعه الکترونیکی: ۲۲۵۰-۷۴۰۰

چکیده:

مقدمه و هدف پژوهش: امروزه بومسازگان‌ها نقش بی‌بدیلی در تأمین نیازهای انسانی و ارائه خدمات متعدد به ذی‌نفعان خود برعهده دارند. اما بروز پدیده‌های متعدد از جمله افزایش جمعیت و افزایش تقاضا برای رفع نیازهای انسانی، خدمات بومسازگان (ES) را با مشکل مواجه ساخته است. از این رو، تخریب زمین یک مسئله مهم محیط‌زیستی است که تحت تأثیر عناصر و عوامل مختلفی قرار دارد. برهمین اساس اقدامات مدیریتی و حفاظتی و استقرار پوشش گیاهی در یک آبخیز می‌تواند نقش ارزشمندی در حفاظت خاک و جلوگیری از فرسایش ایفا نماید. لذا در این پژوهش سعی شده است نقش عملیات زیستی و مدیریتی حوزه آبخیز شارقچ خراسان جنوبی بر فرسایش خاک در شدت-های مختلف بارندگی مورد ارزیابی قرار گیرد.

روش پژوهش: حوزه آبخیز شارقچ با مساحت ۹۴/۸۷ کیلومتر مربع در شهرستان بیرجند استان خراسان جنوبی واقع شده است. میانگین بارندگی سالیانه آبخیز نیز حدود ۲۱۰ میلی‌متر است. حوزه آبخیز شارقچ به دلیل دارا بودن شب زیاد در قسمت شرق و جنوب شرق، قرارگیری مناطق مسکونی و اراضی باقی در حیریم و بستر رودخانه و رژیم بارشی شدید در بهار از پتانسیل سیل‌خیز خوبی برخوردار است. برای ارزیابی نقش عملیات اصلاحی زیستی بر فرآیند فرسایش خاک در حوزه آبخیز مطالعاتی از مدل InVEST استفاده شد. برای آماده‌سازی ورودی‌های مدل از داده‌های بارندگی سالیانه ایستگاه‌های قائن، بیرجند، موسویه و منصورآباد برای دوره زمانی ۱۳۹۹ تا ۱۳۸۱ و برای دوره بازگشتهای ۵، ۱۰ و ۵۰ سال استفاده شد. در ادامه عامل‌های فرسایندگی باران، فرسایش‌پذیری خاک، مدیریت پوشش و عامل حفاظت زمین تعیین شد.

یافته‌های پژوهش: بیشینه مقادیر شاخص فرسایندگی باران در دوره بازگشتهای ۲، ۵ و ۱۰ و ۵۰ سال به ترتیب ۸۵/۰۱، ۸۳/۶۸، ۴۷/۰۸ و ۸۰/۹۴ و کمینه این عامل در همان دوره بازگشتهای ۳/۹، ۳/۶ و ۱/۷ درصد به ترتیب ۹۸/۹۴، ۸۵/۸۵ و ۸۵/۸۵ مکارهای در میلی‌متر بر هکتار بر ساعت تعیین شد. همچنین مقادیر رسوب تولیدشده در دوره بازگشتهای ۲، ۵، ۱۰ و ۵۰ سال به ترتیب ۶۶۹۹/۲۷، ۹۰۲۴/۵۶، ۱۷۴۵/۲۷ و ۲۰۸۶/۳۰ تن بوده که بعد از اعمال سناریوی مدیریتی به ترتیب به ۱۷۳۹/۰۸۷، ۱۶۸۹/۲۹/۹۴، ۸۶۶۸/۳۷ و ۶۴۳۹/۳۹ تن کاهش یافته است.

نتایج به دست آمده بر کاهش ۳/۹، ۳/۶ و ۱/۷ درصد به ترتیب برای دوره بازگشتهای ۲، ۵، ۱۰ و ۵۰ سال دلالت دارد. **نتیجه‌گیری:** در این پژوهش نقش مدیریت زیستی در کنترل فرسایش و رسوب در سطح حوزه آبخیز شارقچ در دوره بازگشتهای مختلف بارندگی مورد ارزیابی قرار گرفته است. نتایج پژوهش حاکی از آن است که با افزایش شدت بارندگی، در کاربری فعلی، میزان فرسایش و رسوب افزایش یافته است اما با اعمال سناریوهای مدیریتی در سطح زیرآبخیزهای مختلف، فرسایش و رسوب در دوره بازگشتهای مختلف بارندگی، کمی کاهش یافته است. با توجه به این که شدت بارندگی در منطقه نقش مهمی در ایجاد فرسایش ایفا می‌کند و اثر آن با ترکیب اراضی شیب دار تشدید می‌شود، استفاده اصولی و متناسب با توان اراضی، می‌تواند نقش مؤثری در پیش‌گیری از تخریب زمین داشته باشد. لذا رهیافت-های این پژوهش می‌تواند برای ارائه الگوی مدیریتی مناسب برای مدیران، بهره‌برداران و ذی‌نفعان حوزه‌های آبخیز سودبخش باشد.

کلمات کلیدی: تخریب زمین، خدمات بومسازگان، شبیه‌سازی در آبخیزداری، مدیریت جامع حوزه آبخیز

نشریه حفاظت منابع آب و خاک

آدرس تارنما:

<https://wsrccj.srbiau.ac.ir>

پست الکترونیک:

iauwsrccj@srbiau.ac.ir

iauwsrccj@gmail.com

سال سیزدهم

شماره ۲ (۵۰)

تاریخ دریافت:

۱۴۰۲/۰۳/۱۳

تاریخ پذیرش:

۱۴۰۲/۰۴/۲۷

صفحات: ۹۵-۱۰۸



مقدمه

پرکاربردترین مدل‌هاست (Sharp et al., 2018). ارزیابی رسوب در مدل بومسازگان InVEST بر پایه مدل فرسایش جهانی خاک اصلاح شده (RUSLE) (RUSLE) بنا شده است که یک مدل تجربی فرسایش خاک (Wischmeier and Smith, 1978; Hagras, 2023) و از متداول‌ترین روش‌های کاربردی و موردن استفاده در منطقه اقلیم مدیرانه‌ای به شمار می‌آید. مدل RUSLE می‌تواند یک طبقه‌بندی متوسط سالیانه از هدررفت خاک برای یک آبخیز را برای انواع شیوه‌سازی‌های مستلزم سامانه‌های مختلف کشد، راهبردهای مدیریت و فن‌های پایش فرسایش خاک محاسبه کند (Angima et al. 2003; Vaezi et al., 2011; and Sadeghi, 2023) (Hagras, 2023). مطالعات متعددی با استفاده از مدل خدمات بومسازگان InVEST و همچنین روش RUSLE فرسایش خاک در آبخیزها را بررسی کرده‌اند. به طور نمونه اسدالهی^۱ و همکاران (۲۰۱۵) در شرق حوزه آبخیزگران‌کارود با استفاده از مدل InVEST بیان داشتند میزان هدررفت خاک از صفر تا ۷۵ تن در سال در سطح سلول و نگهداشت رسوب از ۰/۵ تا ۳۹۱۶ تن بر هکتار بر سال تغییرپذیر است. ذبیحی^۲ و همکاران (۲۰۲۱) نیز با اولویت‌بندی زیرآبخیزهای حوزه آبخیز تالار با مدل InVEST بیان داشتند میزان هدررفت، نگهداشت و تولید رسوب سالیانه به ترتیب ۷۵۷۸۸۸، ۷۵۷۸۸۲ و ۶۵۲۶۸۳ تن است. در پژوهشی دیگر عبدالسمی^۳ و همکاران (۲۰۲۳) با ادغام مدل RUSLE و فن‌های سنجش از دور و GIS برای ارزیابی خطرات فرسایش خاک در مناطق خشک المینیا^۴ در مصر بیان داشتند طبقات میزان فرسایش سالیانه منطقه شامل فرسایش خفیف، کم، متوسط و متوجه رویه بالا به ترتیب با درصدهای ۳۳، ۲۹، ۱۸ و ۲۰ است. مهم‌ترین عوامل اصلی فرسایش در منطقه نیز پوشش گیاهی کم و مقادیر شیب زیاد تعیین شد. همچنین گوش^۵ و همکاران (۲۰۲۳) با تلفیق سامانه اطلاعات جغرافیایی و سنجش از دور با مدل RUSLE به برآورد فرسایش خاک در حوزه آبخیز مایورکشی^۶ در هند پرداختند. نتایج پژوهش نشان داد تلفات سالیانه خاک در این حوزه آبخیز ۴۶۲۹۷۱۴/۸ تن است. بر این اساس، فرسایش خاک در آبخیز موردمطالعه از بسیار کم تا خیلی زیاد طبقه‌بندی شد. لی^۷ و همکاران (۲۰۲۳) نیز با ارزیابی سناریوهای حفاظتی و غیرحفظانی (شرایط طبیعی) زمین در آبخیز رودخانه زرد چین با استفاده از مدل RUSLE نشان دادند بیشترین فرسایش خاک در سال ۲۰۰۰ رخ داده و سپس تا سال ۲۰۲۰ فرسایش کاهش یافته است. بر این اساس با استفاده از سناریوی توسعه طبیعی و تحت سناریوی حفاظت از جنگل‌ها و مرتع می‌توان به ترتیب ۱۹۷۸ کیلومترمربع و ۲۴۰۷ کیلومترمربع سطح جنگل‌ها و مرتع را افزایش داد که سبب کاهش فرسایش خاک تا ۲۴/۶ درصد شود.

نتایج مطالعات قبلی نشان می‌دهد تغییر در کاربری‌های اراضی در جهت کسب منافع کوتاه مدت بیشتر و بهره‌کشی بیش از توان اراضی سبب شده است تا تخریب شدید خاک علاوه بر کاهش بهره‌وری، تولید و انباشت رسوب در بخش‌های مختلف حوزه‌های آبخیز را در پی داشته باشد. در همین راستا استفاده از اراضی بر حسب توان و استعداد آن‌ها و همچین احیا و حفظ پوشش گیاهی می‌تواند نقش مؤثری در جلوگیری از فرسایش خاک و اثرات سوئه آن بر ارائه خدمات از سوی بومسازگان‌های مختلف داشته باشد. لذا در این پژوهش سعی شده است نقش عملیات زیستی و مدیریتی حوزه آبخیز شارقنج خراسان جنوبی بر فرسایش خاک در شدت‌های مختلف بارندگی مورد ارزیابی قرار گیرد.

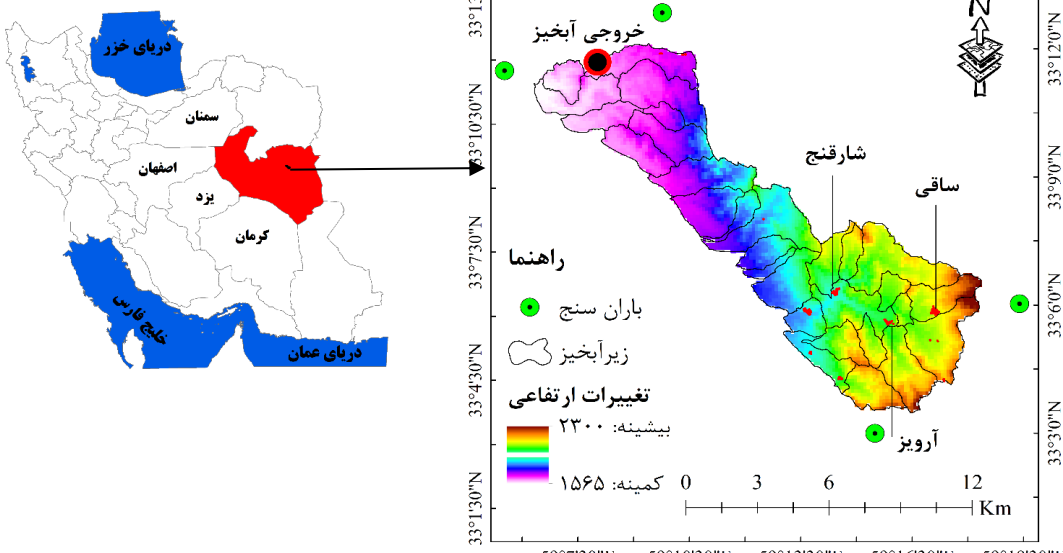
مواد و روش‌ها

منطقه مورد مطالعه

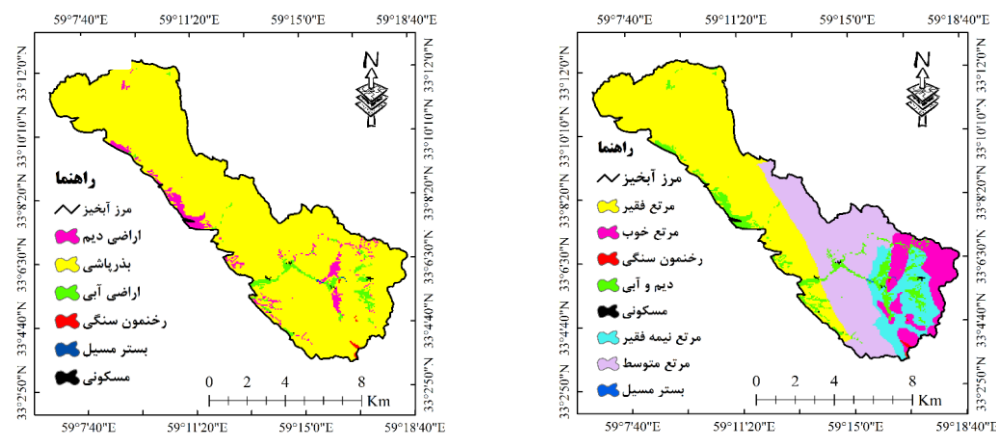
حوزه آبخیز شارقنج با مساحت ۹۴/۸۷ کیلومترمربع در شهرستان بیرجند استان خراسان جنوبی واقع شده است. میانگین بارندگی سالیانه آبخیز نیز حدود ۲۱۰ میلی‌متر است. حوزه آبخیز شارقنج به دلیل دارا بودن شبیه زیاد در قسمت شرق و جنوب شرق، قرارگیری مناطق مسکونی و اراضی باگی در حریم و بستر رودخانه و رژیم بارشی شدید در بهار از پتانسیل سیل‌خیزی خوبی برخوردار است. شکل ۱ منطقه مورد مطالعه را نشان می‌دهد (چمنی و همکاران، ۱۴۰۱).

کاربری اراضی و عملیات اصلاحی

شکل ۲ نقشه کاربری اراضی حاضر (الف) و عملیات اصلاحی (ب) را نشان می‌دهد. نقشه کاربری اراضی از مطالعات پیش‌گیاهی حوزه آبخیز شارقنج تهیه و با نرم افزار گوگل ارث^{۱۴} روزانه شد. صحت و دقت نقشه مزبور نیز با بازدید صحرایی در حوزه آبخیز ارزیابی و تأیید شد. همان‌طور که مشاهده می‌شود



شکل ۱. موقعیت و تغییرات ارتفاعی در حوزه آبخیز شارقنج، خراسان جنوبی



شکل ۲. نقشه کاربری اراضی موجود (راست) و بهینه (چپ) در حوزه آبخیز شارقنج، خراسان جنوبی

پوشش گیاهی عامل بسیار تأثیرگذار در فرسایش خاک است. پوشش گیاهی از برخورد قطرات باران به سطح خاک جلوگیری می‌کند و انرژی قطرات باران را قبل از رسیدن به سطح خاک از بین می‌برد. مقدار C به نوع پوشش گیاهی، مرحله رشد آن و درصد پوشش گیاهی بستگی دارد (Ghosal et al., 2020 and Das Bhattacharya, 2020). از این رو، عامل C برای روش شدن نتیجه محصولات کشاورزی و سایر شیوه‌های مدیریتی بر شدت فرسایش استفاده می‌شود. لذا از آن برای اندازه گیری میزان کارآمدی راهبردهای مختلف مدیریت خاک و محصول در جلوگیری از تخریب خاک نیز بهره‌جسته می‌شود. به طور کلی عامل C نشان‌دهنده میزان حفظ خاک توسط پوشش گیاهی است، جایی که پوشش گیاهی نقش عمدتی در کند کردن روند فرسایش آبی دارد. یکی از پرکاربردترین ابزارها برای تعیین عامل C، شاخص تفاوت نرمال شده گیاهی (NDVI^{۱۷}) است (Lin et al., 2002). در این روش، داده‌های NDVI تولید شده توسط ماهواره 9 Landsat (داده‌های USGS در می ۲۰۲۱ با پسوند ۳۰ متر برای شناسایی عامل C) و نشان دادن چگونگی تأثیر تغییرات پوشش گیاهی بر فرسایش خاک مورداستفاده قرار گرفت. همچنین برای تعیین عامل C برای عملیات اصلاحی از تصویر ماه می سنجنده ۵ Landsat برای سال ۲۰۰۵ با بیشترین بارندگی و در نتیجه بیشترین پوشش گیاهی در منطقه استفاده شد. برای محاسبه شاخص NDVI از اختلاف بین باند مادون قرمز نزدیک (NIR) و نوار قرمز (RED) و مجموع این دو باند با استفاده از رابطه (۴) استفاده شد (Hagras, 2023). شاخص C نیز از رابطه (۵) تعیین شد (Zabihi et al., 2021).

$$NDVI = \frac{NIR - RED}{NIR + RED} \quad (4)$$

$$C = \frac{1 - NDVI}{2} \quad (5)$$

بخش زیادی از وسعت حوزه آبخیز شارقنج را مراتع و به خصوص مراتع فقری تشکیل داده‌اند. در کاربری بهینه پیشنهاد شده از سوی اداره کل منابع طبیعی و آبخیزداری استان خراسان جنوبی، عملیات بذرپاشی^{۱۸} و کنتورفارو^{۱۹} پیشنهاد شده بود که با توجه به هزینه‌بر بودن انجام عملیات کنتورفارو و عدم اجرای آن، صرفاً تمام عملیات اصلاحی، بذرپاشی در نظر گرفته شد.

عامل فرسایندگی باران (R)

عامل فرسایندگی بارندگی (R) یکی از مهم‌ترین عناصر مؤثر بر میزان فرسایش خاک در مناطق مختلف در سراسر جهان است (Hermassi et al. 2017). علاوه بر این، عامل R میانگین سالیانه مجموع رویدادهای انرژی جنبشی بارندگی است که تأثیر بارندگی و رواناب را کمی می‌کند (Chatterjee et al. 2014). با این حال، عامل R معیاری است که اثر بارندگی و همچنین کمیت و سرعت رواناب ناشی از رویدادهای بارندگی را ارزیابی می‌کند. بنابراین، عامل R نیز تحت تأثیر الگوسازی، توزیع جغرافیایی، شدت و انرژی جنبشی و همچنین اندازه قطرات قرار می‌گیرد (Carollo et al. 2018; Hagras, 2023). در این پژوهش به دلیل عدم دسترسی به داده‌های شدت بارندگی، از متوسط بارندگی روزانه ایستگاه‌های منتخب (شکل ۱) برای دوره ۱۳۸۱ تا ۱۳۹۹ استفاده شد. به این منظور ابتدا با استفاده از رابطه (۲) شاخص فرسایندگی بر حسب مگاژول در میلی‌متر بر هکتار بر ساعت برای مدل Roose (1997) Roose، 1997) بر اساس متوسط بارندگی سالیانه (P*) محاسبه شد. سپس با استفاده از رابطه (۳) شاخص فرسایندگی باران سالیانه (R_{WS}) محاسبه شد (Sadeghi and Tavangar, 2015).

$$R_R = [0.5 + 0.05P^*] \quad (2)$$

$$R_{WS} = 6.5R_R + 1.52 \quad (3)$$

عامل مدیریت پوشش (C)

در این رابطه، M حاصل ضرب ($\text{درصد شن} + \text{درصد لای}$) در ($\text{درصد رس} - ۱۰۰$)، OM درصد ماده آلی، S رده ساختمان و P رده نفوذپذیری خاک است (Zabihi et al., 2021). ورودی‌های مورد نیاز این عامل نیز با استفاده از اطلاعات منطقه‌ای و نقشه خاک برآورده شد.

أنواع رسوب برآوردي مدل

در این پژوهش از سه مقدار رسوب مستخرج از مدل استفاده شده است. نوع اول میزان کل رسوب تولیدی است که به تمام رسوب تولید شده از سطح آبخیز اطلاق و به رسوب کل شناخته می‌شود. نوع دوم رسوب تنهشین شده در سطح آبخیز است که پس از فرسایش در سطح حوزه آبخیز به دلایل مختلف از جمله وجود پوشش گیاهی و ریزپستی و بلندی‌ها و یا هر مانع دیگری رسوب کرده است و به آبراهه منتقل نمی‌شود. نوع سوم آن رسوب خروجی است که پس از تولید، در سطح زمین رسوب نکرده و به همراه جريان آب وارد آبراهه اصلی می‌شود.

نتایج و بحث

عامل‌های مؤثر بر فرسایش

در شکل ۳ شاخص فرسایندگی باران برای دوره بازگشت‌های ۲، ۵، ۱۰ و ۵۰ سال نشان داده شده است. همان‌طور که مشاهده می‌شود با افزایش دوره بازگشت، میزان عامل فرسایندگی باران نیز افزایش می‌یابد. بیشینه مقادیر شاخص فرسایندگی باران در دوره بازگشت‌های ۱۰، ۵، ۲ و ۰.۵ میلی‌متر بر هکتار بر ساعت برآورده شد. این در حالی است که کمینه این عامل در همان دوره بازگشت‌ها به ترتیب ۴۲/۸۸، ۵۶/۶۸، ۷۴/۴۷ و ۸۵/۸۵ میلی‌متر بر هکتار بر ساعت تعیین شد. همان‌طور که در شکل ۳ نیز مشاهده می‌شود با افزایش مقدار بارندگی، فرسایندگی باران نیز افزایش یافته است. هم‌چنین عامل فرسایندگی باران رابطه مستقیمی با ارتفاع داشته و با افزایش ارتفاع در مناطق جنوب و شرق آبخیز شارق‌نچ، فرسایندگی باران افزایش و در مناطق دشتی کم‌ترین مقدار را به خود اختصاص داده است. مطالعات مزبانی و همکاران (۱۴۰۰) در حوزه آبخیز سیکان نیز مؤید آن است که عامل فرسایندگی باران با افزایش ارتفاع و حجم بارندگی رابطه مستقیم داشته است. هم‌چنین مطالعات بابایی و همکاران (۱۳۹۵) در حوزه آبخیز کن نیز بیان کننده آن است که با افزایش ارتفاع، عامل فرسایندگی باران از مقدار بیشتری برخوردار است.

عامل حفاظتی (P)

عامل حفاظتی (P) اثر اقداماتی است که فرسایش خاک در مقایسه با شرایط بدون اعمال رهیافت‌های مدیریتی را ارزیابی می‌کند. کشت روی خطور تراز، تراس‌بندي، کشت در شیب متقطع و کشت نواری می‌تواند تأثیر رواناب را کاهش دهد و در نتیجه فرسایش خاک را به حداقل برساند (Okenmuo et al., 2023). عامل حفاظتی (P) میزان تلفات خاک را بر اساس عمل کشاورزی نشان می‌دهد. برای مهار فرسایش سه روش مانند کشت روی خطور تراز، کشت و تراس و عناصر حیاتی وجود دارد (Park و همکاران ۲۰۰۵). مقادیر P از صفر تا ۱ متغیر است. برای این پژوهش از مقادیر P استفاده شده در مطالعات قبلی به سبب به شباهت اقدامات انجامشده در کاربری‌های Kumar and Kushwaha, 2013; (Thapa, 2020) مختلف استفاده شد (). با توجه به اینکه عملیات کنتورفارو پیشنهاد شده هزینه زیادی لازم دارد و احتمال اجرای آن کم است، در این پژوهش، عملیات زیستی به طور کلی بذریابی در نظر گرفته شد و لذا از تغییر عامل P صرف نظر شده است.

عامل توپوگرافی

عامل توپوگرافی ترکیب عامل‌های طول شیب (L) و تندي شیب (S) است که به صورت LS نشان داده می‌شود. با افزایش طول شیب، مقدار و سرعت رواناب تجمعی افزایش می‌یابد. هم‌چنین با افزایش تندي شیب زمین، سرعت رواناب افزایش DEM می‌یابد که به فرسایش کمک می‌کند. در مطالعه حاضر، باوضوح فضایی ۳۰ متر به دست آمده از پایگاه USGS روبکرد توسعه یافته توسط Moore و همکاران (۱۹۸۶) (معادله ۶) در ArcGIS 10.8 برای تخمین عامل LS استفاده شد. در رابطه (۶) λ تجمع جريان \times وضوح سلول (DEM) و θ زاویه شیب بر حسب درجه است (Okenmuo et al., 2023).

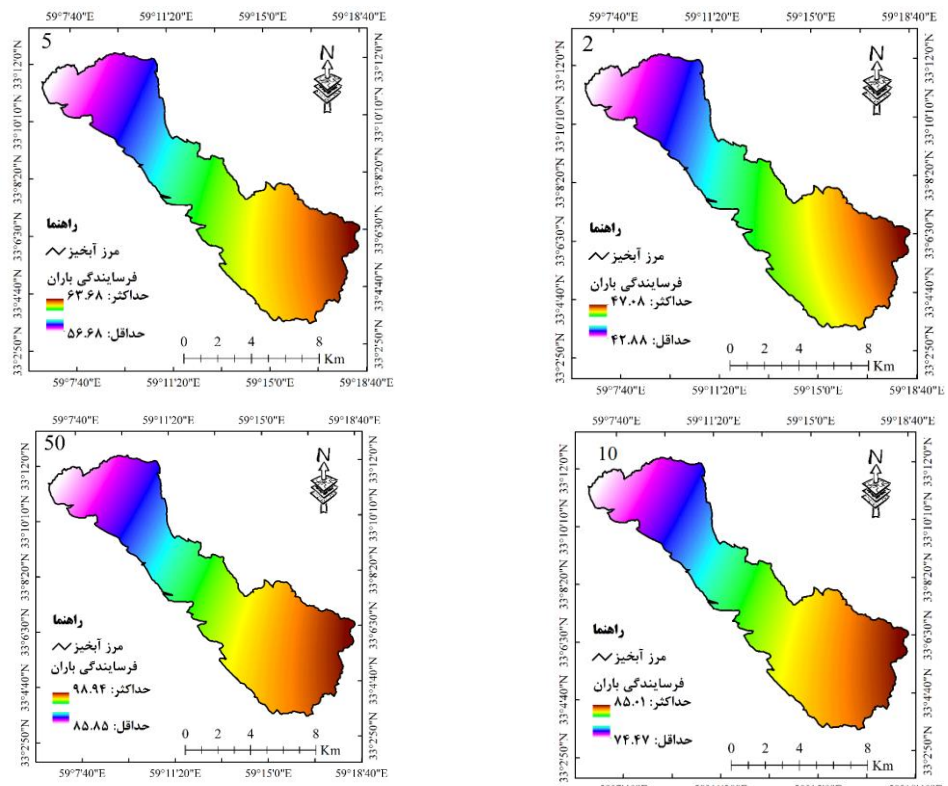
$$LS = \left(\frac{\lambda}{22.13} \right)^{0.4} * \left(\frac{0.01745 \sin \theta}{0.0896} \right)^{1.4} * 1.4 \quad \text{رابطه (۶)}$$

عامل فرسایش‌پذیری خاک

فرسایش‌پذیری خاک نیز یکی دیگر از عامل‌های مهم تأثیرگذار بر فرسایش است که در این پژوهش از رابطه (۷) محاسبه شد.

$$\text{رابطه (۷)}$$

$$100K = 2.1M^{1.114} * 10^{-4} * (12 - \%OM) + 3.25(S - 2) + 2.5(P - 3)$$

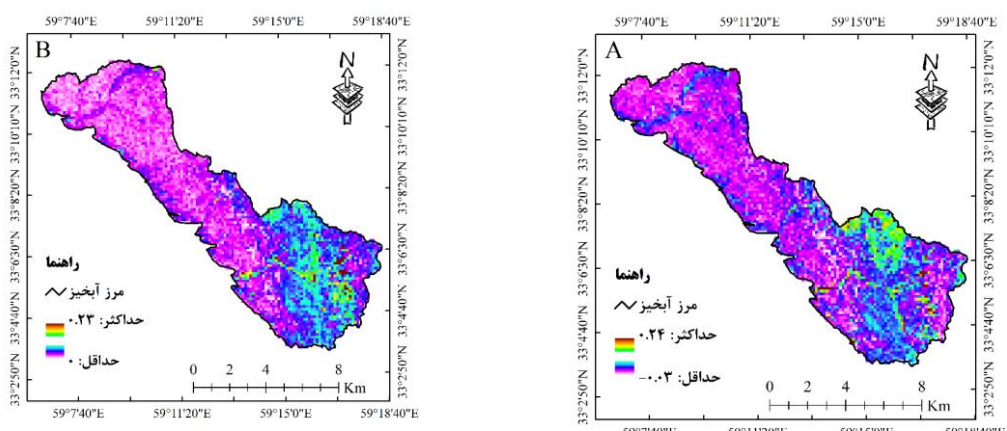


شکل ۳. نقشه شاخص فرسایندگی باران در دوره بازگشت‌های مختلف در حوزه آبخیز شارقنج، خراسان جنوبی

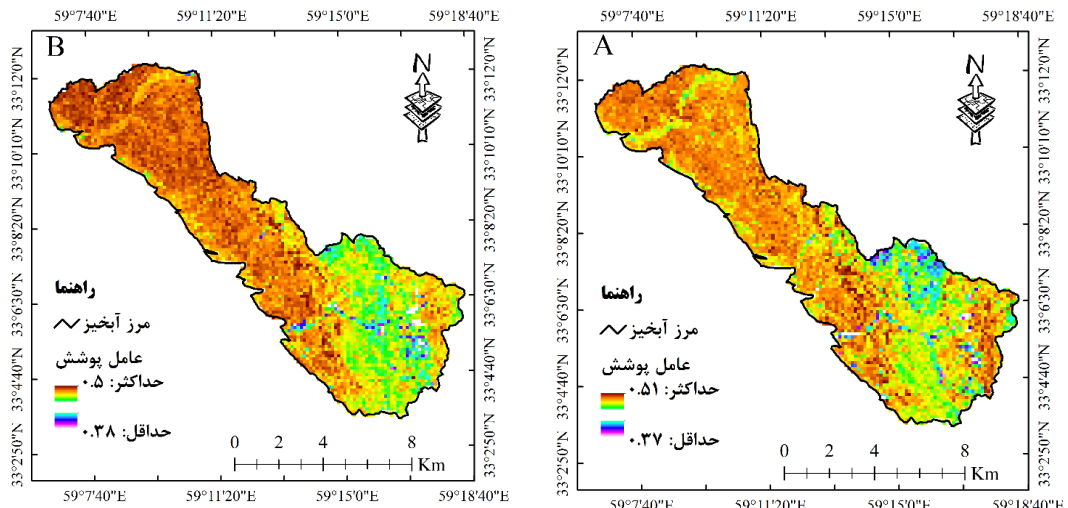
حوزه آبخیز شارقنج است. با تغییر در شاخص NDVI، شاخص C نیز تغییر کرده است. اگرچه حدود کمینه و بیشینه این شاخص تغییر چندانی نداشته اما پراکنش مکانی آن دستخوش تغییرات است که در شکل ۵ نشان داده شده است. به طور کلی افزایش تراکم پوشش گیاهی و در پی آن، کاهش عامل C نقش مؤثری بر مهار فرسایش و جلوگیری از هدررفت خاک دارد.

فرسایش‌پذیری خاک نیز عامل دیگری بود که در حوزه آبخیز شارقنج برای تعیین هدررفت خاک محاسبه شد. همانطور که در شکل ۶ نشان داده این شاخص در بازه صفر تا ۰/۱۱ متغیر بوده است. بیشترین میزان فرسایش‌پذیری خاک در

برای تعیین نقش پوشش گیاهی در کاهش هدررفت خاک از شاخص C استفاده شد. برای این منظور، ابتدا شاخص NDVI برای کاربری حاضر(A) و عملیات اصلاحی(B) تعیین شد (شکل ۴). همان‌طور که مشاهده می‌شود شاخص NDVI در کاربری حاضر از ۰/۰۳ تا ۰/۲۴ را به خود اختصاص داده است که در عملیات اصلاحی این مقدار از ۰/۰۳ تا ۰/۰۳ به صفر در حالت کمینه افزایش یافته است که نشان‌دهنده افزایش پوشش گیاهی در سطح زمین است. حداقل شاخص NDVI پس از اعمال سنتاریوهای مدیریتی به میزان ۰/۰ کاهش را نشان می‌دهد که ناشی از کاهش تراکم باع‌های زرشک در سال ۱۳۹۴ در



شکل ۴. نقشه NDVI موجود (راست) و بهینه (چپ) در حوزه آبخیز شارقنج، خراسان جنوبی

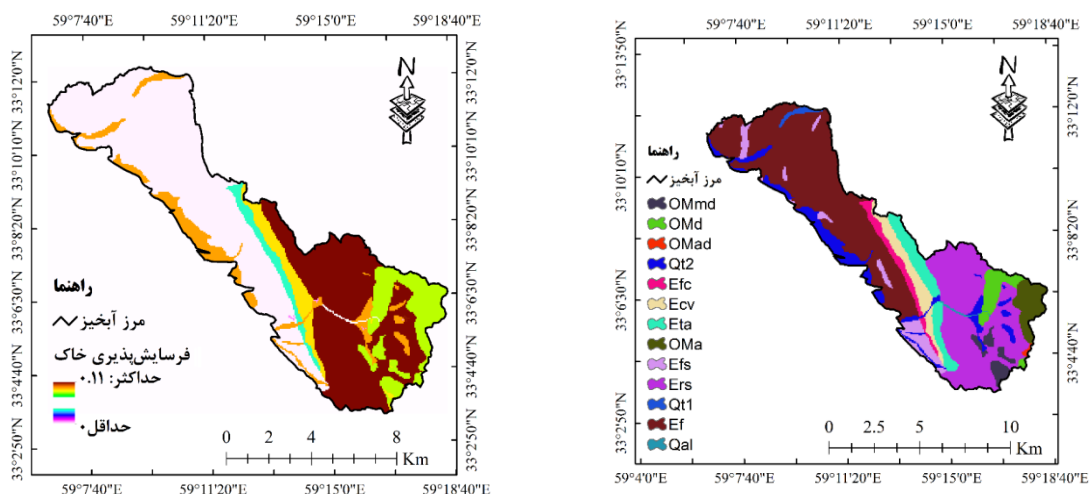


شکل ۵. نقشه عامل پوشش موجود (راست) و بهینه (چپ) در حوزه آبخیز شارقنج، خراسان جنوبی

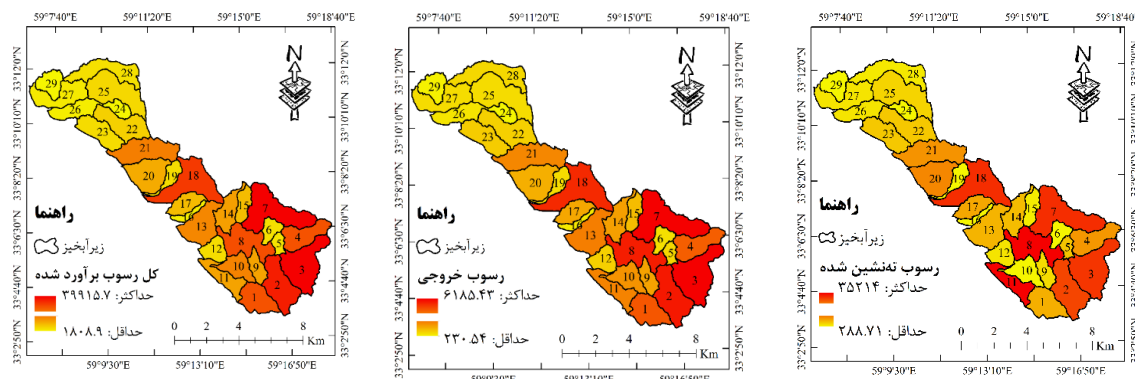
است. رسوب تخمینی در دوره بازگشت‌های ۲، ۵ و ۱۰ سال به ترتیب در جدول‌های ۱ تا ۳ ارائه شد. همان‌طور که در شکل ۷ مشاهده می‌شود میزان کل رسوب تولیدشده در آبخیز شارقنج در بازه $۱۸۰.۸/۹$ تا $۳۹۹.۱۵/۷$ تن در زیرآبخیزهای مختلف برآورد شده است. با توجه به نقش پوشش گیاهی در بازدارندگی حمل رسوب، بخش زیادی از رسوب در سطح آبخیز تنه‌شنین شده و به رودخانه نرسیده است. لذا از کل رسوب تولیدشده در بیشترین حالت، $۶۱۸.۵/۴۳$ تن به رودخانه منتقل شده است. این در حالی است که در شرایط استفاده از سناریوی اصلاحی، میزان کل رسوب تولیدی $۳۸۸.۵/۷$ تن در سطح آبخیز برآورده است و تنها $۵۱۲.۰/۵۱$ تن توانسته است با استفاده از روناب به رودخانه انتقال یابد.

ارتفاعات آبخیز در بخش شمال شرقی دیده می‌شود. با توجه به شکل ۶، بیشترین میزان فرسایش‌پذیری خاک در سازند Ef متشکل از واحدهای فیلیشی بلوک شرق ایران رخداده است. این سازند از لایه‌های متنابع شیل و ماسه سنگ تشکیل شده است و فرسایش‌پذیری بالایی دارد. مطالعات محمدی و همکاران (۱۳۹۷) در سطح کشور نیز نشان داد این مقدار در بازه صفر تا $۰/۰۴$ متغیر است.

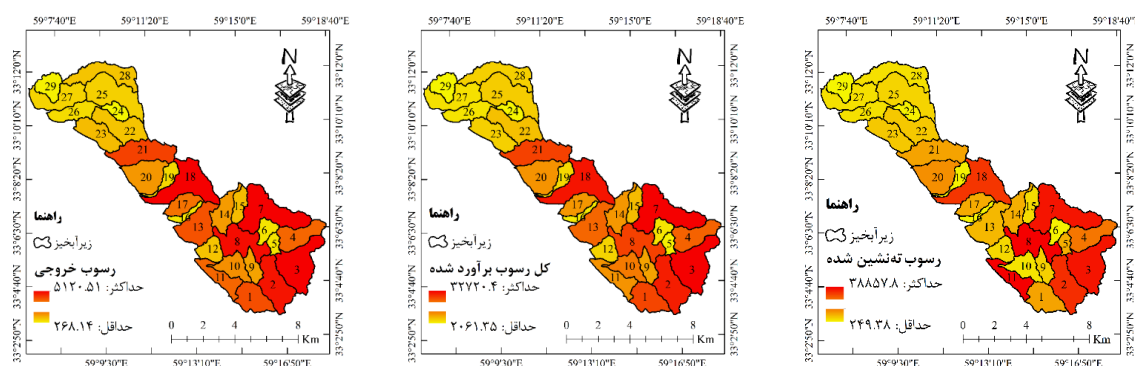
وضعیت فرسایش در زیرآبخیزهای مختلف با توجه به زیاد بودن شکل‌ها در دوره بازگشت‌های مختلف، برای دوره بازگشت ۵ سال میزان رسوب در کاربری حاضر و پس از اعمال سناریوهای مدیریتی در شکل‌های ۷ و ۸ نشان داده شده



شکل ۶. نقشه زمین‌شناسی (راست) و فرسایش‌پذیری خاک (چپ) در حوزه آبخیز شارقنج، خراسان جنوبی



شکل ۷. وضعیت رسوب در زیرآبخیزهای مختلف با کاربری فعلی با دوره بازگشت ۵۰ سال در حوزه آبخیز شارقنج، خراسان جنوبی



شکل ۸. وضعیت رسوب در زیرآبخیزهای مختلف با رویکردی اصلاحی در دوره بازگشت ۵۰ سال در حوزه آبخیز شارقنج، خراسان جنوبی

اصلاحی میزان رسوب افزایش داشته است که می‌تواند ناشی از وجود اراضی بایر و دیم راهشده در منطقه باشد که هیچ کار حفاظتی در آن‌ها صورت نگرفته و به حال خود رها شده است.

همان‌طور که در جدول‌های ۱ تا ۳ مشاهده می‌شود میزان رسوب کل تولیدشده، رسوب تنهشین شده در سطح آبخیز و رسوب راهیافته به آبراهه در همه زیرآبخیزها به شکل یکسانی تغییر پیدا نکرده است. حتی در برخی از زیرآبخیزها در سناریوی

جدول ۱. وضعیت رسوب در کاربری‌های موجود و عملیات زیستی در دوره بازگشت دو سال در حوزه آبخیز شارقنج، خراسان جنوبی

زیرآبخیز	کاربری موجود				رسوب تنهشین شده	رسوب کل تولیدشده	رسوب خروجی	رسوب تنهشین شده	رسوب کل تولیدشده	رسوب خروجی	رسوب تنهشین شده	رسوب کل تولیدشده
	پس از اجرای سناریوی	عملیات زیستی	رسوب کل تولیدشده	رسوب تنهشین شده								
۱۲۲۹۰/۹۳	۲۱۱۳/۷۷	۱۱۲۸۶/۹۵	۱۵۵۶۲/۶۰	۲۴۷۹/۴۶	۱۳۲۰۱/۳۸	۱						
۱۴۰۲۹/۵۳	۲۳۴۱/۴۶	۱۳۰۰۶/۴۶	۱۳۹۲۸/۷۹	۲۳۱۹/۱۱	۱۲۸۶۳/۰۸	۲						
۲۸۶۳/۹۱	۳۷۱/۱۸	۲۳۸/۴۳	۲۷۶۶/۷۱	۳۵۷/۱۰	۲۳۰/۳۵	۳						
۶۷۲۰/۶۲	۹۷۲/۱۱	۷۴۹۴/۲۹	۵۹۹۲/۵۳	۸۵۸/۷۳	۶۹۴۸/۳۷	۴						
۱۱۵۰۵/۲۲	۱۷۵۶/۴۷	۶۹۵۴/۳۸	۹۳۷۹/۹۴	۱۳۳۴/۳۱	۵۴۸۶/۸۷	۵						
۳۲۲۷/۱۵	۶۳۵/۷۲	۳۵۱۷/۹۷	۲۸۳۶/۸۳	۵۵۲/۳۹	۳۰۵۹/۲۹	۶						
۴۱۵۹/۲۶	۵۷۰/۳۰	۳۵۷۴/۰۲	۳۶۵۵/۰۲	۴۹۲/۴۱	۳۱۵۵/۱۱	۷						
۲۳۱۷/۹۹	۴۳۱/۹۱	۱۷۳۲/۰۰	۱۹۶۱/۲۹	۳۵۸/۱۶	۱۵۱۵/۶۷	۸						
۱۵۵۴۳/۷۱	۲۲۸۴/۹۵	۱۲۲۸۰/۳۱	۱۸۹۶۱/۷۶	۲۷۵۴/۲۸	۱۴۷۵۸/۸۷	۹						
۹۳۹۹/۹۴	۱۳۶۶/۷۳	۶۳۶۱/۲۴	۱۱۹۸۲/۳۹	۱۷۲۹/۴۰	۸۴۷۹/۹۱	۱۰						
۱۴۳۸/۱۳	۲۷۵۲۰	۳۶۲۲۳/۸	۲۰۰۵/۶۲	۲۸۶/۷۰	۴۵۴۴/۲۴	۱۱						
۱۹۳۳/۳۶	۲۵۲/۵۷	۳۱۰/۸۳	۲۳۰۳/۸۸	۳۰۱/۹۲	۳۷۹/۴۱	۱۲						
۶۴۰۷/۴۸	۹۲۲/۲۴	۴۳۵۶/۷۶	۶۹۶۵/۲۳	۱۰۲۲/۱۵	۴۶۹۷/۷۱	۱۳						
۵۸۱۰/۴۵	۸۳۱/۶۶	۲۲۸۶/۸۹	۶۴۲۶/۳۲	۹۵۳/۲۴	۲۵۳۰/۴۱	۱۴						
۱۰۹۵۰/۲۷	۱۵۹۴/۸۳	۴۸۸۰/۳۰	۱۲۱۳۸/۵۴	۱۸۱۸/۴۷	۵۳۸۷/۴۵	۱۵						
۷۹۹۱/۸۱	۱۰۳۲/۸۸	۹۳۹/۹۰	۸۸۳۷/۲۰	۱۱۷۰/۷۰	۱۰۵۲/۵۲	۱۶						

رسوب کل تولیدشده	رسوب تهذیب شده	رسوب خروجی	کاربری موجود			زیرآبخیز
			پس از اجرای سناریوی عملیات زیستی	رسوب کل تولیدشده	رسوب خروجی	
۶۵۵۲/۰۵	۱۳۱۲/۱۴	۵۵۰/۲/۵۳	۵۰۲۹/۹۳	۹۳۰/۴۸	۴۹۰۳/۴۸	۱۷
۲۰۰۹/۰۶	۳۴۰/۰/۸	۱۸۶۴۹/۳۹	۱۷۱۸/۷۶	۲۸۳۷/۷۴	۱۵۴۴/۷۰	۱۸
۳۳۲۰/۴۶	۵۷۰/۳۹	۱۶۴۰/۳۴	۲۵۰۰/۳۸	۴۰۲/۸۹	۱۳۲۱/۵۹	۱۹
۳۵۴۳/۶۵	۴۷۵/۲۳	۲۸۳۵/۴۱	۳۰۰۱/۵۹	۳۹۲/۶۷	۲۴۱۵/۷۱	۲۰
۱۲۷۸/۱۶	۱۵۱۲/۲۲	۱۴۳/۸۵	۱۱۳۷/۵۵	۱۳۲/۹۹	۱۲۴/۲۶	۲۱
۱۰۱۳/۹۶	۱۳۱/۹۱	۲۵۵۷/۷۸	۸۸۹/۷۶	۱۱۳/۴۱	۲۲۳/۷۰	۲۲
۶۶۹۳/۱۴	۱۳۹۷/۲۱	۱۵۵۰/۴/۸۴	۶۴۶۸/۳۸	۱۳۲۳/۵۴	۱۶۳۸۳/۹۷	۲۳
۲۸۵۰/۰۲	۵۶۵/۵۲	۱۸۰۶/۷۰	۲۶۸۶/۸۰	۵۱۴/۷۲	۱۷۹۱/۶۷	۲۴
۹۲۶۹/۲۵	۱۶۰۱/۳۷	۴۶۹۷/۱۶	۸۴۹۱/۷۶	۱۳۷۶/۱۰	۴۰۵۲/۶۳	۲۵
۱۸۱۲/۴۴	۲۷۶/۲۱	۱۹۷/۷۹	۱۴۷۹/۶۴	۲۱۳/۰۲	۱۹۶/۶۰	۲۶
۱۱۲۸۰/۸۷	۲۱۹۵/۶۵	۱۶۸۳۲/۲۳	۱۲۳۶۵/۲۹	۲۴۵۹/۸۱	۱۸۵۷۳/۵۴	۲۷
۱۵۰۳۵/۴۰	۲۴۵۰/۷۷	۱۲۷۱۸/۴۳	۱۷۸۶۰/۲۵	۲۹۶۰/۰۷	۱۵۰۸۵/۲۲	۲۸
۴۴۴۷/۷۵	۶۳۴/۲۰	۱۳۷۵/۲۵	۴۹۴۴/۱۸	۷۳۱/۴۸	۱۵۳۶/۲۰	۲۹

جدول ۲. وضعیت رسوب در کاربری‌های موجود عملیات زیستی در دوره بازگشت پنج سال در حوزه آبخیز شارق‌جنگ، خراسان جنوبی

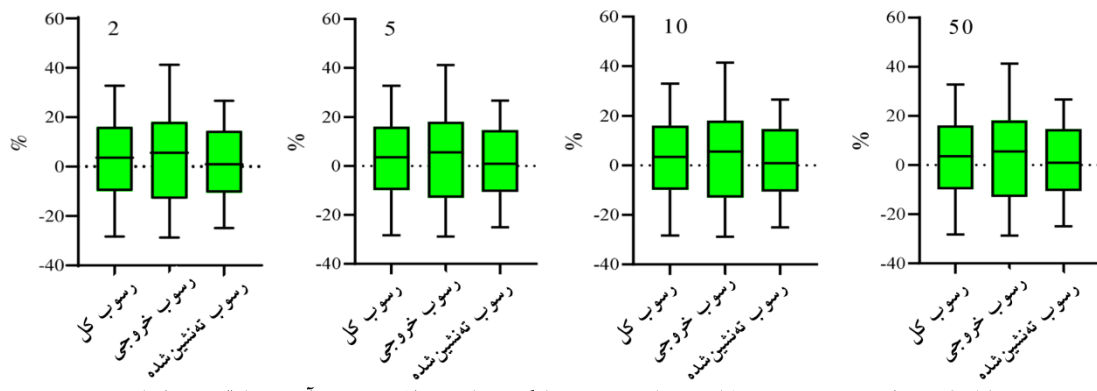
رسوب کل تولیدشده	رسوب تهذیب شده	رسوب خروجی	کاربری موجود			زیرآبخیز
			پس از اجرای سناریوی عملیات زیستی	رسوب کل تولیدشده	رسوب خروجی	
۱۷۹۹۹/۳۵	۲۸۶۲/۲۶	۱۵۲۸۵/۵۸	۲۱۰۷۶/۰۷	۳۳۵۷/۵۰	۱۷۸۷۸/۴۸	۱
۱۸۸۳۴/۶۹	۳۱۴۳/۱۲	۱۷۴۶۲/۹۱	۱۸۶۹۹/۸۷	۳۱۱۳/۱۷	۱۷۲۷۰/۶۸	۲
۳۸۳۹/۴۶	۴۹۷/۶۲	۳۱۹/۶۰	۳۷۰۹/۱۱	۴۷۸/۷۵	۳۰۸/۷۶	۳
۸۹۹۷/۳۷	۱۳۰۱/۴۶	۱۰۰۳۸/۲۹	۸۰۲۲/۶۳	۱۱۴۹/۶۶	۹۳۰۷/۰۹	۴
۱۵۳۷۵/۹۱	۲۲۴۶/۷۹	۹۲۹۲/۳۸	۱۲۵۳۷/۸۸	۱۷۸۳/۱۴	۷۳۳۲/۸۸	۵
۴۳۵۷/۹۹	۸۴۶/۲۳	۴۶۸۸/۵۱	۳۷۷۶/۸۸	۷۳۵/۲۵	۴۰۷۷/۱۹	۶
۵۵۴۶/۱۲	۷۶۰/۴۱	۴۷۶۵/۹۱	۴۸۷۳/۷۹	۶۵۶/۵۷	۴۲۰۷/۲۹	۷
۳۰۸۹/۹۰	۵۷۱/۸۸	۲۲۹۵/۱۳	۲۵۹۷/۶۱	۴۷۴/۲۶	۲۰۰۸/۵۰	۸
۲۱۰۴۱/۳۲	۳۰۹۲/۹۹	۱۶۶۲۴/۵۰	۲۵۶۶۸/۲۵	۳۷۲۸/۳۲	۱۹۹۸/۰۰	۹
۱۲۷۸۰/۵۹	۱۸۴۷/۷۳	۸۶۰۰/۰۰	۱۶۲۰۰/۲۸	۲۳۳۸/۰۹	۱۱۴۶۴/۶۴	۱۰
۱۹۴۳/۳۹	۳۷۱/۹۱	۴۸۹۹/۵۱	۲۷۱۰/۲۳	۵۲۲/۵۸	۶۱۴۴/۶۹	۱۱
۲۶۱۰/۴۱	۳۴۱/۰۲	۴۱۹/۶۷	۳۱۱۰/۷۵	۴۰۷/۶۶	۵۱۲/۲۹	۱۲
۸۶۲۹/۹۳	۱۲۴۲/۲۴	۵۸۶۸/۲۳	۹۳۸۰/۹۵	۱۳۷۸/۱۳	۶۳۲۷/۳۲	۱۳
۷۸۸۵/۸۸	۱۱۳۴/۲۲	۳۰۹۱/۷۱	۸۶۸۸/۵۴	۱۲۸۸/۶۹	۳۴۲۰/۹۴	۱۴
۱۴۸۲۹/۷۷	۲۱۰۹/۷۷	۶۶۰۹/۵۸	۱۶۴۳۹/۰۴	۲۴۶۲/۶۴	۷۲۹۶/۴۵	۱۵
۱۰۷۹۹/۵۴	۱۳۹۵/۷۲	۱۲۷۰/۰۹	۱۱۹۴۱/۹۷	۱۵۸۱/۹۵	۱۴۲۲/۲۸	۱۶
۸۸۰۴/۹۶	۱۷۶۳/۲۵	۷۳۹۹/۳۳	۶۷۵۹/۵۸	۱۲۵۰/۴۰	۶۵۹۴/۵۶	۱۷
۲۶۶۶/۰۹	۴۵۱/۲۹	۲۴۷۷/۵۳	۲۲۸۰/۷۵	۱۳۷۶/۵۱	۲۰۳۹/۵۷	۱۸
۴۴۰۶/۸۰	۷۵۷/۰۴	۲۱۷۶/۴۵	۳۳۱۸/۱۴	۵۳۵/۹۸	۱۷۵۳/۴۲	۱۹
۴۷۱۴/۰۷	۶۳۲/۱۲	۳۷۷۲/۱۶	۳۹۹۳/۲۵	۵۲۲/۳۴	۳۲۱۴/۰۰	۲۰
۱۶۹۱/۳۳	۲۰۰/۱۰	۱۹۰/۳۶	۱۵۰۵/۲۶	۱۷۵/۹۷	۱۶۴۴/۴۳	۲۱
۱۲۴۹/۹۳	۱۷۵/۶۱	۳۴۰/۶۰	۱۱۸۴/۵۹	۱۵۰/۹۸	۲۹۷/۸۹	۲۲
۹۰۴۹/۱۵	۱۸۸۸/۸۱	۲۰۹۶۸/۵۵	۸۷۴۵/۴۸	۱۷۸۹/۲۵	۲۲۱۵۷/۹۰	۲۳
۳۸۴۵/۰۲	۷۶۲/۹۲	۲۴۴۷/۵۵	۳۶۲۵/۰۲	۶۹۴/۴۳	۲۴۱۷/۲۹	۲۴
۱۲۴۷۸/۶۵	۲۱۰۵/۸۹	۶۳۲۴/۴۱	۱۱۴۳۱/۹۴	۱۸۵۲/۴۶	۵۴۵۶/۷۹	۲۵
۲۴۳۷/۲۴	۳۷۱/۴۱	۲۶۶/۱۰	۱۹۸۹/۸۱	۲۸۶/۴۶	۲۶۴/۵۱	۲۶
۱۵۲۲۶/۵۵	۲۹۶۳/۴۸	۲۲۷۱۸/۱۵	۱۶۶۹۰/۴۶	۳۳۲۰/۰۵	۲۵۰۶۸/۶۵	۲۷
۲۰۲۸۱/۰۲	۳۳۰۰/۵۸۰	۱۷۱۵۶/۳۱	۲۴۰۹۳/۳۰	۳۹۹۲/۷۹	۲۰۳۵۰/۷۱	۲۸
۵۹۹۲/۰۶	۸۵۴/۴۷	۱۸۵۲/۶۳	۶۶۶۰/۸۶	۹۸۵/۰۵	۲۰۶۹/۴۴	۲۹

جدول ۳. وضعیت رسوب در کاربری‌های موجود و عملیات زیستی در دوره بازگشت ۱۰ سال در حوزه آبخیز شارقنج، خراسان جنوبی

زیر حوزه آبخیز	رسوب تهذیب شده	رسوب کل تولید شده	رسوب خروجی	کاربری موجود		پس از اجرای سناریوی عملیات زیستی
				رسوب کل خروجی	رسوب تهذیب شده	
۱	۳۱۵۰۳/۱۱	۵۹۳۴/۵۹	۳۷۱۴۸/۹۳	۲۶۹۳۸/۵۸	۵۰۶۰/۳۱	۳۱۷۳۱/۰۱
۲	۳۵۳۵۲/۱۲	۶۳۷۱/۸۱	۳۸۳۲۷/۹۹	۶۴۲۲/۷۰	۳۸۵۰/۱۷	۷۹۵۵/۰۹
۳	۶۴۶/۹۳	۹۹۰/۵۱	۷۶۸۶/۱۰	۶۶۹/۲۱	۱۰۲۹/۴۵	۱۸۷۸۱/۴۶
۴	۱۹۴۱۵/۸۲	۲۲۹۶/۱۵	۱۶۷۴۴/۱۶	۲۰۹۴۱/۱۳	۲۷۱۳/۰۳	۳۲۸۹۴/۹۹
۵	۱۵۶۸۷/۲۱	۳۸۱۲/۹۳	۲۶۸۵۴/۹۱	۱۹۸۵۴/۴۲۸	۵۰۱۱/۵۰	۹۴۲۸/۲۹
۶	۸۸۰۸/۷۹	۱۵۸۹/۰۱	۸۱۷۱/۹۲	۱۰۱۲۷/۷۳	۱۸۲۸/۷۶	۱۲۲۱۱/۳۶
۷	۹۲۷۱/۶۱	۱۴۴۵/۶۴	۱۰۷۳۰/۸۴۱	۱۰۵۰۲/۵۹	۱۶۷۴/۳۳	۶۶۹۸/۲۶
۸	۴۴۲۵/۶۲	۱۰۳۳/۷۸	۵۶۷۲/۵۴	۵۰۵۵/۶۵	۱۲۴۵/۶۷	۳۸۱۴۶/۳۰
۹	۳۶۱۷۵/۶۹	۶۷۶۸/۱۴	۴۶۵۸۴/۴۸	۳۰۰۷۷/۵۶	۳۰۰۹/۲۱	۲۲۹۲۳/۵۲
۱۰	۲۱۶۳۹/۲۸	۴۴۰۴/۴۶	۳۰۵۱۷/۷۸	۱۶۲۲۹/۶۴	۲۴۷۸/۱۵	۳۶۴۳/۳۴
۱۱	۱۱۴۵۳/۶۶	۹۷۸/۷۸	۵۰۸۲/۸۱	۹۱۳۰/۱۱	۶۹۶/۳۳	۴۹۸۸/۰۵
۱۲	۹۷۹/۵۸	۷۷۸/۴۸	۵۹۴۴/۸۷	۸۰۲/۵۳	۶۵۱/۰۸	۱۷۰۶۸/۹۳
۱۳	۱۲۴۹۹/۳۷	۲۷۲۱/۴۶	۱۸۵۶۴/۴۳	۱۱۵۸۵/۶۴	۲۴۵۱/۰۰	۱۴۳۲۰/۶۶
۱۴	۶۲۴۳/۹۹	۲۲۳۴/۶۲	۱۵۸۳۸/۹۲	۵۶۴۳/۲۸	۲۰۵۴/۲۹	۲۵۷۸۵/۹۱
۱۵	۱۲۶۷۸/۰۷	۴۲۸۴/۱۱	۲۸۵۸۲/۵۹	۱۱۴۸۴/۹۲	۳۷۵۷/۳۹	۱۹۷۳۳/۸۱
۱۶	۲۶۰۲/۶۹	۲۸۹۱/۳۹	۲۱۸۲۱/۱۴	۲۳۲۴/۲۰	۲۵۵۱/۰۸	۱۷۵۹۰/۸۹
۱۷	۱۳۱۳۳/۹۶	۲۴۹۷/۰۲	۱۳۵۲۵/۲۹	۱۴۷۳۰/۳۱	۳۵۱۵/۹۶	۵۷۷۷/۷۷
۱۸	۴۴۸۶/۹۱	۸۱۵/۱۷	۴۹۴۰/۴۱	۵۴۴۶/۰۸	۹۷۷/۵۲	۱۰۲۳۶/۸۰
۱۹	۴۰۴۷/۹۲	۱۲۴۵/۱۹	۷۶۹۳/۶۷	۵۰۳۰/۰۰	۱۷۶۲۷/۰	۱۰۷۰۰/۵۸
۲۰	۷۳۰۰/۳۷	۱۱۸۵/۸۴	۹۰۶۳/۱۶	۸۵۶۹/۰۹	۱۴۳۵/۰۶	۳۷۷۲۵/۴۱
۲۱	۳۶۲۷/۷۲	۳۸۷/۴۰	۳۳۱۵/۲۰	۴۱۹/۹۴	۳۹۲/۹۸	۳۰۲۱/۱۶
۲۲	۶۶۶/۴۳	۳۳۷/۸۷	۲۶۵۱/۱۴	۷۶۲/۰	۱۲۲۲۴/۳۷	۱۶۲۲۴/۳۷
۲۳	۳۹۶۷۲/۴۶	۳۲۱۲/۸۲	۱۵۶۷۸/۵۸	۳۷۵۴۶/۲۰	۳۳۹۱/۴۲	۷۲۱۲/۸۳
۲۴	۴۵۴۰/۱۵	۱۳۰۳۲۶	۶۷۹۹/۴۹	۴۵۷۸/۱۷	۱۴۳۱/۶۹	۲۴۲۳۵/۷۷
۲۵	۱۰۵۹۰/۲۱	۳۶۰۹/۵۹	۲۲۳۳۰/۷۰	۱۲۲۶۴/۹۷	۴۱۹۳/۴۴	۴۸۲۵/۵۱
۲۶	۵۲۵۳۲/۲۶	۵۶۷/۲۹	۳۹۴۲/۳۰	۵۲۸/۱۲	۷۳۴/۸۴	۲۸۷۵۳/۴۴
۲۷	۴۷۵۷۵/۶۹	۶۲۷۵/۲۰	۳۱۵۱۲/۳۸	۴۳۱۱۴/۶۳	۵۶۰۲/۰۱	۳۹۷۳۴/۸۱
۲۸	۳۹۸۱۸/۴۴	۷۸۱۷/۴۵	۴۷۱۶۴/۳۳	۳۳۶۰۰/۳۴	۶۴۷۵/۷۱	۱۱۸۹۴/۹۸
۲۹	۴۱۱۶/۵۳	۱۹۵۱/۷۱	۱۳۲۲۲/۶۳	۳۶۸۵/۰۶	۱۶۹۲/۰۸	

رسوب بوده که در شکل ۹ نیز به خوبی نشان داده شده است. لذا تغییر در بارندگی به مراتب تأثیر بیشتری بر وقوع فرسایش در این حوزه آبخیز دارد و تغییرات پوشش سطح زمین نمی‌تواند به خوبی از فرسایش و تولید رسوب جلوگیری کند.

تغییرات تولید رسوب در عملیات زیستی نسبت به کاربری حاضر همانطور که در شکل ۹ نشان داده شده میزان تولید رسوب در زیرآبخیزهای مختلف غیریکسان و لزوماً در همه زیر حوزه آبخیزها کاهشی نشده است. مورد مشابه در همه دوره بازگشت-های استفاده شده تغییرات اندک آن‌ها در کاهش یا افزایش



شکل ۹. تغییرات رسوب نسبت به کاربری حاضر در دوره بازگشت‌های مختلف در حوزه آبخیز شارقنج، خراسان جنوبی

انجام شده است اما وجود اراضی دیم شخم خورده و رهانشده در دامنه‌های اراضی شیب‌دار و نبود راه‌های حفاظتی و کنترلی سبب شده است تا در زیرآبخیزهای دارای اراضی دیم در شدت‌های مختلف بارندگی میزان رسوب افزایش یابد. مطالعات ذیبی و همکاران (۲۰۲۱) در حوزه آبخیز تالار با مدل InVEST نیز نشان‌دهنده آن است که با افزایش اراضی دیم میزان رسوب افزایش یافته است. علاوه بر این، مطالعات Degife و همکاران (۲۰۲۱) در اتیوپی با استفاده از مدل InVEST همانند نتایج پژوهش حاضر نشان داد شبیه‌سازی اراضی نقش مهمی در تولید و خروج رسوب از حوزه آبخیز دارند به طوری که در این پژوهش اراضی بایر و بدون پوشش بیشترین نقش در هدرافت خاک را داشته است. همچنین شبیه‌های ۵ تا ۳۰ درصد نیز از نقش بالایی در خروج رسوب از آبخیز برخوردار بوده است که نتایج این پژوهش را تأیید می‌کند. با مطالعات اسداللهی و همکاران (۲۰۱۵) در شرق حوزه آبخیزگران‌رود نیز با استفاده از مدل InVEST حاکی از هدرافت خاک تا ۷۵ تن بر سال در سطح سلول و نگهداری رسوب از ۰/۵ تا ۳۹۱۶ تن بر هکتار بر سال است که نشان از کاربرد مدل InVEST و همچنین هدرافت زیاد خاک در سطح حوزه آبخیز دارد.

نتیجه‌گیری

خدمات بومسازگان همواره از اهمیت خاصی در تأمین نیازهای انسانی و چگونگی مدیریت بوم سازگان‌های مختلف برخوردار بوده است. براین اساس در این پژوهش نقش مدیریت زیستی در کنترل فرسایش و رسوب در سطح حوزه آبخیز شارق‌نج در دوره بازگشت‌های مختلف بارندگی مورد ارزیابی و پژوهش قرار گرفت. نتایج پژوهش حاکی از آن است که با افزایش شدت بارندگی، در کاربری فعلی، میزان فرسایش و رسوب افزایش یافته است اما با اعمال سناریوهای مدیریتی در سطح زیرآبخیزهای مختلف، فرسایش و رسوب در دوره بازگشت‌های مختلف بارندگی، کمی کاهش یافته است. بر اساس نتایج مشاهده شده افزایش پوشش سطح زمین در مواجهه با افزایش شدت بارندگی تأثیر قابل توجهی بر کاهش فرسایش و رسوب در این آبخیز نداشته است. با توجه به این که شدت بارندگی در منطقه نقش مهمی در ایجاد فرسایش ایفا می‌کند و اثر آن با ترکیب اراضی شبکه‌دار تشید می‌شود، استفاده اصولی و مناسب با توان اراضی، می‌تواند نقشی مؤثری در پیش‌گیری از تخریب زمین داشته باشد چرا که هرگونه تخریب در منطقه به منزله هدرافت خاک و ایجاد شرایط غیرقابل کنترل خواهد بود. همچنین پیشنهاد می‌شود استفاده از عملیات تلفیقی مهندسی با زیستی می‌تواند از سرعت رواناب کاسته و میزان فرسایش را کاهش دهد. لذا رهیافت‌های این پژوهش می‌تواند الگوی مدیریتی مناسب برای مدیران، بهره‌برداران و ذی‌نفعان حوزه‌های آبخیز تلقی شود.

تغییر کاربری اراضی همواره یکی از مهمترین مسائل و چالش‌های پیش روی مدیران و برنامه‌ریزان در مدیریت پایدار حوزه‌های آبخیز است. با توجه به افزایش دلالت‌های انسانی و تغییر در طبیعت‌گرایی حوزه‌های آبخیز، سالیانه افزایش هدرافت خاک امری اجتناب‌ناپذیر شده است که نیازمند نگاه مدیریتی جامع و کامل در تشریح چگونگی استفاده از اراضی بر حسب توان، استعداد و شرایط ذاتی آن‌هاست. همان‌طور که در نتایج این پژوهش مشاهده شد افزایش پوشش گیاهی در حوزه آبخیز شارق‌نج نقش موثری در کاهش فرسایش و رسوب نداشته است به طوری که افزایش پوشش گیاهی سبب کاهش $\frac{۳/۹}{۳/۹}$ و $\frac{۱/۷}{۱/۷}$ درصد در میزان رسوب تولید شده به ترتیب برای دوره بازگشتهای ۲، ۵ و ۱۰ سال شده است. در حوزه آبخیز شارق‌نج بارندگی سالیانه در روزهای محدود سال نازل شده و بخش اصلی بارش‌ها در فصل زمستان است که در سطح زمین، پوشش گیاهی برای جلوگیری از فرسایش وجود ندارد یا مقدار سیزینگی برای رشد و سایه‌اندازی سطح خاک بسیار محدود است. در فصل بهار که زمان رشد پوشش گیاهی است بارندگی‌ها محدود و در این حوزه آبخیز رگباری و بعض‌تا تگرگ است که سبب کاهش نقش پوشش گیاهی در جلوگیری از فرسایش خاک و تولید رسوب می‌شود. لذا نقش شدت بارندگی در دوره بازگشت‌های مختلف به مراتب از اثر پوشش گیاهی بیشتر بوده است. در همین راستا مطالعات رضایی‌ارشد و محمود‌آبدی (۱۳۹۷) در ارزیابی شدت بارش بر فرسایش بین‌شیاری نیز نشان‌دهنده آن است که با افزایش شدت بارندگی، سرعت و قدرت جریان افزایش می‌یابد که تشديد در فرسایش را در پی دارد. شبیه‌عامل دیگری است که در رخداد فرسایش و رسوب تأثیرگذار است. از دیگر دلایل رخداد فرسایش و کاهش نقش بازدارندگی پوشش گیاهی در تولید رسوب، وجود اراضی شبکه‌دار و فرسایش‌پذیر است که به دلیل کاهش عمق خاک و عدم استقرار پوشش گیاهی، فرسایش و تولید رسوب در آن‌ها زیاد است. به عبارتی دیگر تقریباً نیمی از حوزه آبخیز شارق‌نج از ارتفاعات و شبکه‌های زیاد تشکیل شده است که تؤمن با بارندگی‌های شدید سبب افزایش فرسایش می‌گردد. مطالعات خلیلی‌مقدم و همکاران (۱۳۹۳) در ارزیابی تأثیر شبکه‌های شدت بارندگی بر فرسایش در استان خوزستان بیان داشتند ترکیب شبکه و شدت بارندگی اثر معناداری بر رخداد فرسایش و رسوب دارد. همچنین مطالعات Abdelsamie و همکاران (۲۰۲۳) در مصر نیز حاکی از آن است که افزایش شبکه از مهم ترین متغیرهای تأثیرگذار بر افزایش فرسایش خاک است که در راستای نتایج این پژوهش است. علاوه بر این مطالعات Thapa (۲۰۲۰) در نپال با رویکرد RUSLE نیز مؤید آن است که افزایش شبکه نقش مهمی در افزایش میزان فرسایش و تولید رسوب داشته است. نتایج این پژوهش در ایجاد فرسایش و تولید رسوب دارند. همچنان مطالعات Hagras (۲۰۲۳) نیز با استفاده از رویکرد RUSLE در مصر می‌بینند نقش زیاد شبکه در هدرافت خاک و تولید رسوب است. اگرچه انجام اقدامات آبخیزداری در سطح وسیعی از حوزه آبخیز

Reference:

- Abdelsamie, E. A., Abdellatif, M. A., Hassan, F. O., El Baroudy, A. A., Mohamed, E. S., Kucher, D. E., & Shokr, M. S. (2023). Integration of RUSLE Model, Remote Sensing and GIS Techniques for Assessing Soil Erosion Hazards in Arid Zones. *Agriculture*, 13(1), 35.
- Akgöz, R., Deviren Saygin, S., Erpul, G., & Tel, S. (2022). Monitoring seasonal and phenological variability of cover management factor for wheat cropping systems under semi-arid climate conditions. *Environmental Monitoring Assessment*, 194, 395. [Https:doi.org.10.1007.s10661-022-10064-1](https://doi.org/10.1007/s10661-022-10064-1)
- Asadolahi, Z., Salmanmahiny, A. & Mirkarimi, H. (2015). Modeling the supply of sediment retention ecosystem service (case study: eastern part of Gorgan-rud watershed). *Environ. Erosion Research Journal*, 5(3), 61-75 [in Persian]
- Aytop, H., & Şenol, S. (2022). The effect of different land use planning scenarios on the amount of total soil losses in the Mikail Stream Micro-Basin. *Environmental Monitoring Assessment*, 194, 32. [https:doi.org.10.1007.s10661-022-09937-2](https://doi.org/10.1007/s10661-022-09937-2)
- Babaei, M., Hossaini, S.Z., Nazari Samani, A.A., & Almodaresi, S.A. (2016). Assessment of soil erosion using RUSLE 3D, case study: Kan-Soleghan watershed. *Watershed Engineering and Management*, 8(2): 156-181 [In Persian].
- Baskent, E.Z. (2020). A framework for characterizing and regulating ecosystem services in a management planning context. *Forests*, 11, 102. [https:doi.org.10.3390.f11010102](https://doi.org/10.3390/f11010102)
- Caglayan, İ., Yeşil, A., Kabak, Ö. & Bettinger, P. (2021). A decision making approach for assignment of ecosystem services to forest management units: A case study in northwest Turkey. *Ecological Indicators*, 121, 107056. [https:doi.org.10.1016.j.ecolind.2020.107056](https://doi.org/10.1016/j.ecolind.2020.107056)
- Carollo, F.G., Ferro, V., & Serio, M.A. (2018). Predicting rainfall erosivity by momentum and kinetic energy in Mediterranean environment. *Journal of Hydrology*. [https:doi.org.10.1016.j.jhydr.2018.03.026](https://doi.org/10.1016/j.jhydr.2018.03.026)
- Chamani, R., Moradi Rekabkalaei, H.R., Somayeh Zare & Tavosi, M. (2021). Evaluation of morphometric and geomorphometric indices of Sharghonj Birjand Watershed. *Extension and Development of Watershed Management Journal*, 10(36): 37-47 [In Persian].
- Chatterjee S., Krishna A.P., Sharma A.P. (2014). Geospatial assessment of soil erosion vulnerability at watershed level in some sections of the Upper Subarnarekha river basin, Jharkhand, India. *Environmental Earth Sciences*, 71:357-374. [https:doi.org.10.1007.s12665-013-2439-3](https://doi.org/10.1007/s12665-013-2439-3)
- Defege, A., Worku, H., & Gizaw, S. (2021). Environmental implications of soil erosion and sediment yield in Lake Hawassa watershed, south-central Ethiopia. *Environmental Systems Research*, 10, 1-24.
- Ghosal, K., & Das Bhattacharya, S. (2020). A review of RUSLE model. *Journal of the Indian Society of Remote Sensing*, 48(4), 689-707.
- Ghosh, A., Rakshit, S., Tickle, S., Das, S., Chatterjee, U., Pande, C.B., & Mattar, M. A. (2023). Integration of GIS and Remote Sensing with RUSLE Model for Estimation of Soil Erosion. *Land*, 12(1), 116.
- Hagras, A. (2023). Estimating water erosion in the EL-Mador Valley Basin, South-West Matrouh City, Egypt, using revised universal soil loss equation (RUSLE) model through GIS. *Environmental Earth Sciences*, 82(1), 1-17.
- Hermassi, T., El Ammami, H., & Ben, K.W. (2017) Impact of anthropogenic activities on erosive behavior of Nebhana Watershed Tunisia. *Water and Land Security in Drylands*. Springer, Cham, pp 185–195.
- Keesstra, S.D., Bouma, J., Wallinga, J., Tittonell, P., Smith, P., Cerdà, A., Montanarella, L., Quinton, J.N., Pachepsky, Y., van der Putten, W.H. (2016). The significance of soils and soil science towards realization of the United Nations sustainable development goals. *Soil*, 2: 111–128.
- Khalili Moghadam, B., Ghorbani, Z., & Shahnaz, A. (2013). A laboratory study of the effect of salinity and alkalinity, slope and rainfall intensity on soil erosion rates in selected soils of Khuzestan province. *Journal of Agricultural and Natural Resources Sciences and Technologies*, 18 (69): 117-128 [In Persian].
- Knoke, T., Kindu, M., Schneider, T., & Gobakken, T. (2021). Inventory of forest attributes to support the integration of non-provisioning ecosystem services and biodiversity into forest planning—from collecting data to providing information. *Current Forestry Reports*, 7, 38–58. [https:doi.org.10.1007.s40725-021-00138-7](https://doi.org/10.1007/s40725-021-00138-7).
- Kumar, S., & Kushwaha, S.P.S. (2013). Modelling soil erosion risk based on RUSLE-3D using GIS in a Shivalik sub-watershed. *Journal of Earth System Science* 122(2):389–398.
- Li, Y., Zhang, J., Zhu, H., Zhou, Z., Jiang, S., He, S. & Li, G. (2023). Soil Erosion Characteristics and Scenario Analysis in the Yellow River Basin Based on PLUS and RUSLE Models. *International Journal of Environmental Research and Public Health*, 20(2): 1222.
- Mazbani, M., Rezaei Moghadam. M.H., & Hejazi, A. (2021). Assessing the risk of soil erosion in land uses using the modified global equation of soil erosion (case study: Sikan Watershed). *Geography and Environmental Hazards*, 37: 41-63 [In Persian].
- Moisa, M. B., Babu, A., & Getahun, K. (2023). Integration of geospatial technologies with RUSLE model for analysis of soil erosion in response to land use/land cover dynamics: a case of Jere Watershed, Western Ethiopia. *Sustainable Water Resources Management*, 9(1): 1-21.

- Moore, I.D. (1986). Burch GJ. Physical basis of the length-slope factor in the universal soil loss equation. *Soil Science Society of America Journal*. 50(5):1294.
- Negese, A., Fekadu, E., & Getnet, H. (2021). Potential Soil Loss Estimation and Erosion-Prone Area Prioritization Using RUSLE, GIS, and Remote Sensing in Chereti Watershed, Northeastern Ethiopia. *Air, Soil and Water Research*. 14, 1178622120985814.
- Okemuo, F. C., & Ewemoje, T. A. (2023). Estimation of soil water erosion using RUSLE, GIS, and remote sensing in Obibia River watershed, Anambra, Nigeria. *DYSONA-Applied Science*, 4(1): 6-14.
- Rezaei Arshad, R., & Mahmoodabadi, M. (2018). Simultaneous effect of wind and rain on hydraulic parameters of sheet flow and interrill erosion rate. *Journal of soil management and sustainable*, 8(2): 1-21 [In Persian].
- Robinson, D.A., Panagos, P., Borrelli, P., Jones, A., Montanarella, L., Tye, A., Obst, C.G. (2017). Soil natural capital in Europe; a framework for state and change assessment. *Scientific Reports*. 7, 6706.
- Roose, E. (1977). Erosion ET ruissellement en Afrique de l'ouest-vingt années de mesures en petites parcelles expérimentales. Pour faire face à ce problème me préoccupant, l'ORSTOM et les Instituts Travaux et Documents de l'ORSTOM No. 78: 108.
- Sadeghi, S. H., & Tavangar, S. (2015). Development of stational models for estimation of rainfall erosivity factor in different timescales. *Natural Hazards*, 77(1), 429-443.
- Sadeghi, S.H.R., Shojaee, Gh. R. & Moradi, H.R. (2010). Relationship between Land Use and Soil Erosion in Manderijan Catchment in Zayandehrud Dam Basin. *Journal of Watershed Engineering and Management*, 2(3):143-149.
- Sharp, R., Tallis, H. T., Ricketts, T., Guerry, A. D., Wood, S. A., Chaplin-Kramer, R., Nelson E., Ennaanay, D., Wolny, S., Olwero, N., Vigerstol, K., Pennington, D., Mendoza, G., Aukema, J., Foster, J., Forrest, J., Cameron, D., Arkema, K., Lonsdorf, E., Kennedy, C., Verutes, G., Kim, C. K., Guannel, G., Papenfus, M., Toft, J., Marsik, M., Bernhardt J., Griffin, R., Glowinski, K., Chaumont, N., Perelman, A., Lacayo, M., Mandle, L., Hamel, P., Vogl, A. L., Rogers, L., Bierbower, W., Denu, D. and Douglass J. (2018). InVEST 3.5.0 user's guide, The Natural Capital Project, Stanford University, University of Minnesota, The Nature Conservancy, and World Wildlife Fund.
- Sidi Almouctar, M.A., Wu, Y., Zhao, F., & Dossou, J.F. (2021). Soil erosion assessment using the RUSLE model and geospatial techniques (remote sensing and GIS) in South-Central Niger (Maradi Region). *Water*, 13: 3511.
- Thapa, P. (2020). Spatial estimation of soil erosion using RUSLE modeling: a case study of Dolakha district, Nepal. *Environmental Systems Research*, 9(1), 1-10.
- Tiemann, A., & Ring, I. (2022). Towards ecosystem service assessment: Developing biophysical indicators for forest ecosystem services. *Ecological Indicators*, 137: 108704.
- Vaezi, A.R. & Sadeghi, S.H.R. (2011). Evaluating the RUSLE model and developing an empirical equation for estimating soil erodibility factor in a semi-arid region, *Spanish Journal of Agricultural Research*, 9(3), 912-923.
- Vatandaşlar, C., & Yavuz, M. (2023). Useful indicators and models for assessing erosion control ecosystem service in a semi-arid forest landscape. *Environmental Monitoring and Assessment*, 195(1): 1-27.
- Zabihi, M., Moradi, H. R., Khaledi Darvishan, A., & Gholamalifard, M. (2021). Application of InVEST ecosystem services model to prioritize sub-watersheds of Talar in term of soil erosion, sediment retention and yield. *Environment and Water Engineering*, 7(2): 293-303.

یادداشت ها

- ¹ Ecosystem
- ² Ecosystem Service
- ³ Asadolahi
- ⁴ Zabihi
- ⁵ Abdelsamie
- ⁶ El-Minia
- ⁷ Ghosh
- ⁸ Mayurakshi
- ⁹ Li
- ¹⁰ Rainfall erosivity factor
- ¹¹ Soil erodibility factor
- ¹² Cover management factor
- ¹³ Support practice factor
- ¹⁴ Google Earth
- ¹⁵ Seeds broadcasting
- ¹⁶ Contour farrow
- ¹⁷ Normalized Difference Vegetation Index